

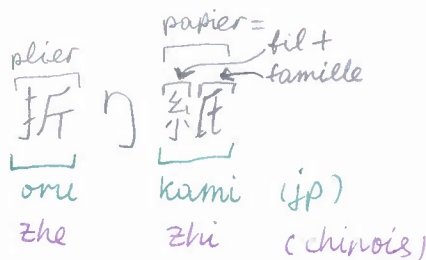
L'origamiques

(les mathématiques de l'origami)

Victoria

Lebed

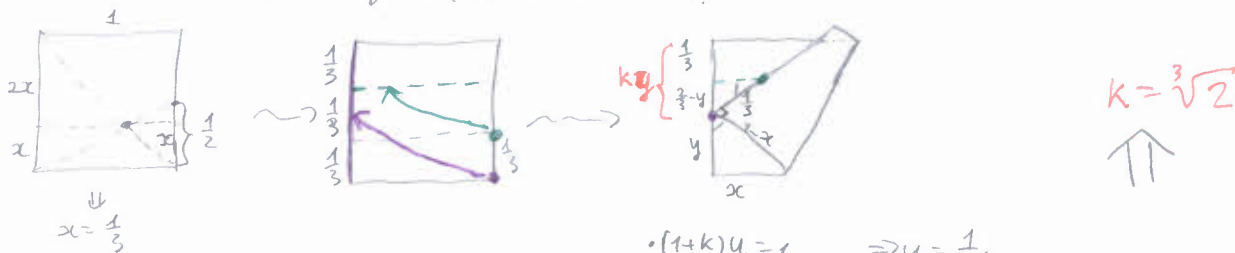
11/2015



① Deux parmi les Trois grands problèmes de l'Antiquité

A) Duplication du cube

L'origine mythique : le pb des Déliens (doubler l'autel d'Apollon),
solution origamique (Messer '86) :



$$\begin{aligned} & (1+k)y = 1 \Rightarrow y = \frac{1}{1+k} \\ & x^2 + y^2 = (1-x)^2 \Rightarrow y^2 = 1 - 2x - 1 + 2\frac{k-1}{3k} = \frac{2-k}{3k} \quad \left\{ \begin{array}{l} \frac{1}{(1+k)^2} = \frac{2-k}{3k} \\ 3k = (k^2 + 2k - 1)(2 - k) \end{array} \right. \\ & \Downarrow \quad \frac{1-x}{x} = \frac{1}{3} \Rightarrow \frac{1}{2-3y} = \frac{1}{3} = \frac{1+k}{2k-1} \\ & \Downarrow \quad \frac{1}{x} = \frac{1+k}{2k-1} + 1 = \frac{3k}{2k-1} \end{aligned}$$



A') Construction du N-gon

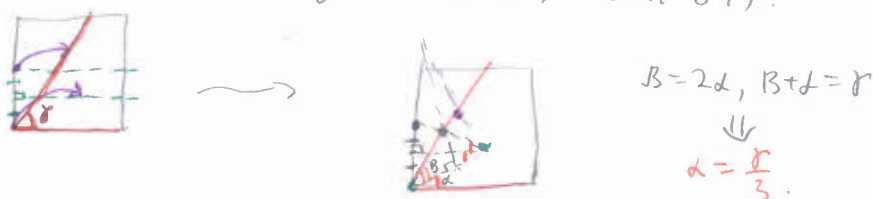
régulier, $N = 2^{i_3^j} (2^k 3^l + 1)$

premier de Pierpont

$$K^3 - 2 = 0 \Rightarrow K = \sqrt[3]{2}$$

B) Trisection de l'angle

Solution origamique (Abe '80, Justin '84) :



$$\beta = 2\alpha, \beta + \delta = \gamma$$

$$\alpha = \frac{\pi}{3}$$

- Rmk:
- Les pb ne sont pas résolubles à la règle et au compas (Wantzel 1837), mais le sont à la règle graduée et au compas (III^e av. JC, Archimède).
 - Plus généralement, l'origami résout + équation de degré 3 & 4 (Beloch '36, '89, '95, '00, ...).
 - Par contre, ni le 3^{ème} grand problème (la quadrature du cercle), ni l'^o quintisection de l'angle ne sont pas réalisables avec l'origami.

② Des bribes de l'histoire de l'origami

{ source principale:
page web de Matori Koshiro }

L'Orient

1050 (+toll) l'invention du papier en Chine
? zherzi en Chine ? (pas de preuves)

63. les moins bouddhistes pourraient importer l'origami au Japon

1680 1^{ère} mention (poème de Saikaku) Ishuu

1734 1^{ère} image

1764 1^{er} livre "Tsutsumi-no ki" (Ise Sadatane)

1797 "Sembaruzuru, orikatai" (Akisato Rito)
100 grue pliage

1893 "Exercices géométriques de pliage de papier" (Rao)

1930' Akira Yoshizawa: l'origami pour apprendre la géométrie

2 courants:

1) cérémonial (zansuirai)

2) récréationnel (ukiyo-e, étoffes pour les kimono)
estampes

L'Occident

123? l'origami apparaît dans le système éducatif en Espagne (influence des Maures)

1490 1^{ère} image: bateau, dans "Tractatus de Sphaera Mundi" (Johannes de Sacrobosco)

1614 "prison en papier" (bombe à eau?) mentionnée dans la pièce "La Duchesse de Maliby" (John Webster,
~1810 les plus vieux modèles conservés
à musées allemands,

1850' dans une version créative!
l'origami est parmi les "occupations" proposées dans le 1^{er} kindergarten (Friedrich Fröbel), pour apprendre
→ formes de la vie
→ formes de la beauté
→ formes de savoir (géométrie),
"le livre des amusantes" (Toto)

rapprochement à partir de la Restauration de Meiji (1868)
(e.g., l'origami frôbelien pénètre dans le système éducatif japonais)

1949 1^{ère} axiomatique (Yates, "Méthodes géométriques")

50' Yoshizawa, 1^{er} artiste: expression émotionnelle

50' cercle international • nouvelles techniques (e.g. pliage humide)
• système de notations (Yoshizawa & Sam Randlett & Robert Harbin)
• l'introduction du mot "origami" en Europe (avant: Papierfalten)
• publication de modèles
• paper folding
• pajanta

60' Uchizama Koko: l'origami abstrait en tant qu'un art
↳ brevets pour les modèles
↳ bases pour les modèles (30'; e.g.: oiseau ou grenouille)

178 Mouvement français des plieurs de papier

80' Étude des patrons réalisables (Mae kawa, Engel) → on n'est plus obligé d'utiliser les bases

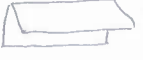
189 • 1^{ère} Conférence internationale sur l'origami dans la science, les mathématiques et l'éducation (Ferraro, Italie,

• l'origami computationnel (Lang: programme Tree Maker)
• l'axiomatique complète (Justin)

1996 Le pb de réalisabilité de patrons global est NP complet (Bern & Hwang)

2018 Télescope spatial "origamique" (James Webb Space Telescope)

Le mot "origami"

- époque de Heian (794-1185): le mot a un autre sens  papier pour écrire ses lettres, des listes
- époque de Showa (1926-1989): sens moderne (remplace les mots "orizuru", "orikata", "orimono")

L'origami traditionnel :

la forme la plus répandue	{ l'Orient }		{ L'Occident }	
	oriéune (la grue)		pajarita (petit oiseau)	
angles	22.5°		45°	
coupures, distortion	oui		non	
papier	mashi		europeen (rectangle coloré)	
"judgement folds"	oui		non	
origami modulaire	oui		non	

③ Utilisation scientifique

- télescopes spatiaux : James Webb Space Telescope, réalisation prévue en 2018
• EyeGlass, développé avec le mathématicien Robert Lang; un prototype construit en 2002
- panneaux solaires : un panneau utilisant le pliage de Miura ('70) fut installé sur un vaisseau spatial japonais en 1995
- avions utilisables dans l'espace: projet
- coussins de sécurité
- batteries pliables (2013)
- robots (2015)
- micro-sondes
- stents, ou ressorts (2005)
- ADN & protéines pliables, c.g pour transporter des médicaments (modèles primitifs : 2006 & 2013 respectivement),

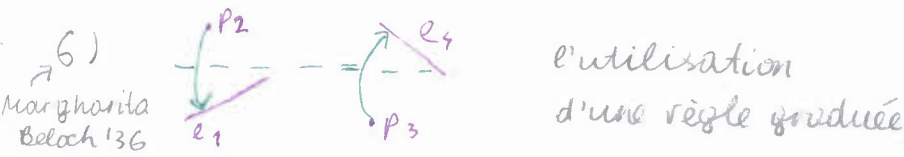
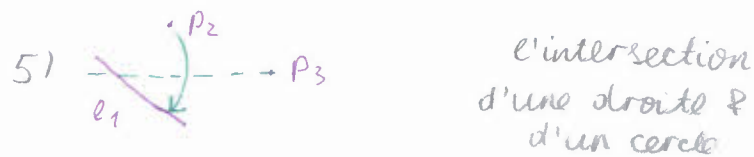
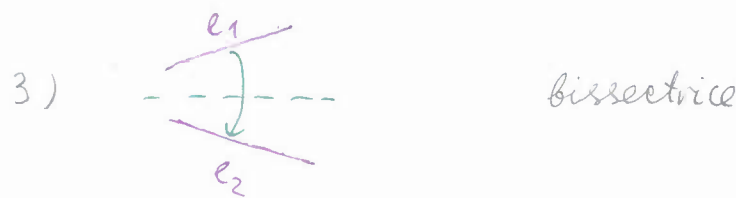
Rmq: les applications nécessitent souvent l'origami rigide.

④ Axiomatique & constructibilité

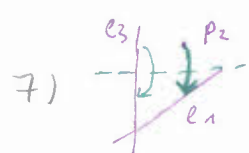
(Muzyta-Hutori & Scimemi '91, Justin '89; les axiomes 11-61 connus avant)



Rmq: En général, ces plis peuvent ne pas exister (5-7), ou ne pas être uniques (3, 5-7).



⚠ En général, ceci équivaut à résoudre une équation cubique.



Système complet (Lang), mais pas minimal.

Nombres constructibles: corps \mathbb{Q} , stable par $\sqrt{ } \neq \sqrt[3]{ }$.

Rmq: Axiomes 1)-4) (ou 11-51) \Leftrightarrow constructions à la règle & au compas.

Une efficace construction de \mathbb{Q} :

Thm de Masa:

$$ka \quad a \quad kb$$

$$b = \frac{2a}{1+a}$$

$$\square a + kb = 1 \Rightarrow b = \frac{1-a}{k} = \frac{2a(1-a)}{(1-a)(1+a)} = \frac{2a}{1+a}$$

$$a^2 + (ka)^2 = (1-ka)^2 \Rightarrow a^2 - 1 - 2ka = \Rightarrow k = \frac{1-a^2}{2a}$$

□

Exemple: Construction de $\frac{1}{5}$ en 3 plis: $1 \rightsquigarrow \frac{1}{2} \rightsquigarrow \frac{2}{3} \rightsquigarrow \frac{4}{5}$.

⑤ Pliabilité

A) Patrons locaux



Thm de Maekawa-Justin: Autour de chaque sommet, $\# \text{dents} - \#\text{petits dents} = \pm 2$.
mathématiques, artiste, programmeur, chef de boîte

$$\begin{aligned} \square & \quad \text{Diagram of a vertex with two small flaps and one large flap.} \\ & \pi(n-2) = 2\pi + \# \text{dents} \\ & n = \# \text{dents} + \#\text{petits dents} \\ \Rightarrow & \# \text{dents} + \#\text{petits dents} = 2 + 2 \# \text{dents} \quad \blacksquare \end{aligned}$$

Thm de Kawasaki (-Robertson-Justin):
prof de maths, origamiste

$$\begin{array}{c} d_1 \\ \diagup \quad \diagdown \\ d_2 \quad d_3 \\ \diagdown \quad \diagup \\ d_4 \end{array} \quad d_1 - d_2 + d_3 - d_4 + \dots - d_{2k} = 0$$

Thm d' Neuma-Justin: $\exists \geq 2^k$ pliages.
1990

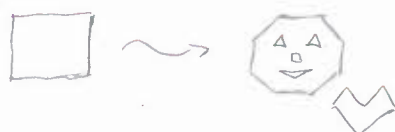
B) Patrons globaux

(A) \Rightarrow bicolorabilité.

Mull '94: des conditions nécessaires plus compliquées.

Bern-Hayes '96: le PB de pliabilité de patrons globaux est NPcomplet.

C) Fold & Cut Theorem:



On peut obtenir toute collection de figures polygonales par plusieurs plis et une coupe droite.

Origine: "Compétitions mathématiques" 1721, Ken Chu Sen (Japon).
formulation générale: Gardner 1995.

Solution: Demaine-Demaine-Lubiw 1999.

⑥ Problème du rouble / dollar froissé, ou "Napkin problem"

(Arnold '56 - ce futur grand mathématicien âgé de 19 ans !)



Peut-on avoir $P' > P$?

périmètre: P

P'

- Non pour les pliages le long de droites:



$$P' - P = \ell - e^1 \leq 0$$

- Non si P' est convexe (*).

- Oui en général. Exemples:

- Lang '97 : • Un modèle de 1797!
• $P' \rightarrow +\infty$.

- Yaschenko '98, "Make your dollar bigger now".



- Tarasov '04 :

- Krat '05

- Généralisé: On peut augmenter le volume d'un polyèdre convexe.

* Thm: $F \xrightarrow{\epsilon} F'$ polygones convexes $\Rightarrow P(F) \geq P(F')$, ^{périmètre}

Preuve (Petrunin 2010):

Notre: $\langle A_1, \dots, A_n \rangle$ = l'enveloppe convexe de A_1, \dots, A_n .

Soit $P(F') > P(F)$. Alors $\exists A'_1, \dots, A_n \in F$ t.q. $P(\langle A'_1, \dots, A'_n \rangle) > P(\langle A_1, \dots, A_n \rangle)$, avec
 $\therefore n$ minimal.
 $P(\langle A'_1, \dots, A'_n \rangle) - P(\langle A_1, \dots, A_n \rangle)$ maximale.

Les A'_i sont des sommets de M' , 2 à 2 distincts

(si c'était faux pour A'_n , alors on aurait $P(\langle A'_1, \dots, A'_{n-1} \rangle) = P(\langle A'_1, \dots, A_n \rangle) \geq P(\langle A_1, \dots, A_{n-1} \rangle) \leq P(\langle A_1, \dots, A_n \rangle)$)

Si A_i est un sommet de M , alors son angle dans $M \geq$ l'angle de A'_i dans M' :
 $\angle A_i M \geq \angle A'_i M'$ On bouge avec la vitesse $\frac{d}{dt}$ $\angle A_i M$ et $\angle A'_i M'$

$$\Rightarrow P(M) \text{ diminue avec } v_{\text{init.}} = 2 \cos \frac{\angle}{2} \quad \left. \begin{array}{l} \Rightarrow \cos \frac{\angle}{2} - \cos \frac{\angle'}{2} \leq 0 \\ \Rightarrow P(M') \leq 2 \cos \frac{\angle'}{2} \end{array} \right\} \Rightarrow \cos \frac{\angle}{2} - \cos \frac{\angle'}{2} \leq 0$$

Conclusion: $\forall A_i$ est un sommet de M .

$$M = \begin{array}{c} A_1 \\ \diagdown \\ A_2 \\ \diagup \\ A_3 \end{array} \quad P(M) = \sum |A_i A_{i+1}| \geq \sum |A'_i A'_{i+1}| \geq P(M'), \text{ contradiction.} \quad \square$$